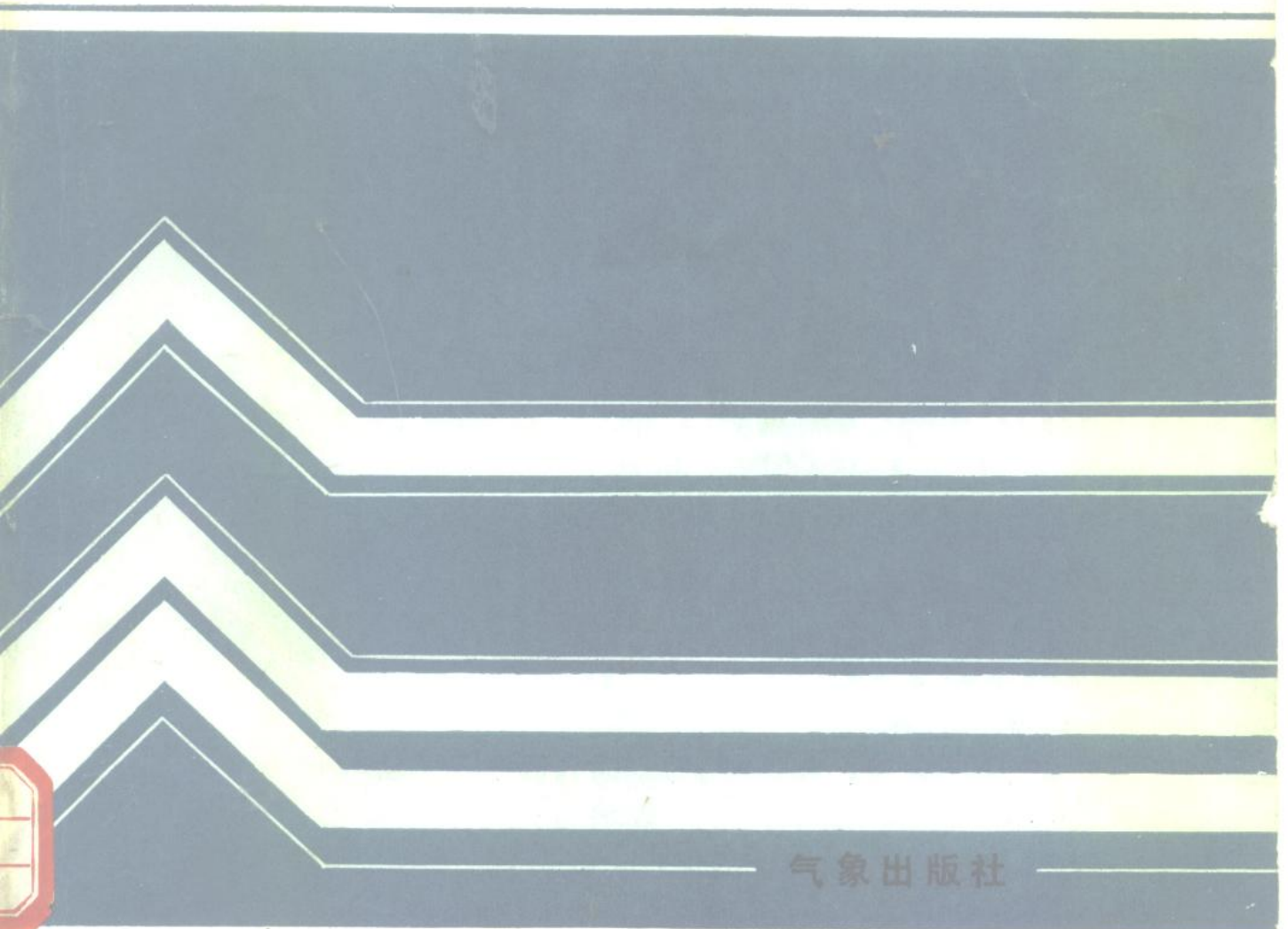


廖洞贤 王两铭

# 数值天气预报 原理及其应用



气象出版社

# 数值天气预报 原理及其应用

廖洞贤 编著  
王两铭

气象出版社

## 内 容 简 介

本书系统地论述了数值天气预报的基础理论和“谱模式”、“参数化”等国内外的研究成果，并从应用数值天气预报的实际需要出发，编写了“诊断分析”、“资料处理”和“数值天气预报的应用和加工”等专门章节。全书内容丰富、层次清晰，语言流畅、深浅得当。兼有业务和教学参考书的特点。

本书可供气象科研人员、大专院校有关师生、研究生和气象有关业务人员学习参考。

## 数值天气预报原理及其应用

廖洞贤 编著  
王两铭 编著

责任编辑 陆 勇

高 等 教 育 出 版  
(北京西郊白石桥路46号)

密云华都印刷厂印刷 新华书店北京发行所发行

开本：787×1092 1/16 印张：27.25 字数：691千字  
1986年5月第一版 1988年1月第二次印刷  
印 数：2001—3500 定 价： 6.35元  
ISBN 7-5029-0076-4/P·0052

# 前 言

数值天气预报是我国气象现代化的重要内容之一，也是近三十年来发展起来的重要的天气预报的方法之一。现在，已有三十多个国家和地区采用，并用它作日常业务预报。近年来，这种预报发展很快。目前，数值预报不仅能作形势预报，也能作天气和气象要素的预报；不仅能作一个国家的预报，也能作半球和全球预报；不仅能作短期预报，也能作中期预报；长期预报也进行过令人鼓舞的试验。并且，在准确率方面也取得了可喜的进步。翻开过去国内出版的数值天气预报书籍，可见有些已不能概括新发展的内容，有些内容已过时了。

针对这些情况，我们在这些书籍的基础上，整理并选编了近年来国内外在数值天气预报方面的重要成果，如谱模式、大气物理过程的参数化和正规波等，对它们进行了较系统的论述。还考虑到预报员应用数值天气预报的实际需要，专门编写了“诊断分析”、“资料处理”和“数值天气预报的应用和加工”等章节。

考虑到大气波动的稳定性、风压场之间的适应等，在一般动力气象书中已有专门讲述，为免重复，在本书中均不再详细讲述。对一般动力气象未讲述、而数值预报又很需要的理论或方法，如正交曲线坐标、静力平衡近似和用气象要素作垂直坐标的数学物理基础、统一的坐标变换、边界条件的影响和要求、以及计算稳定性等，则给予适当的论述。

在编写过程中，作者虽力求使内容丰富、严谨且具有系统性，但因限于水平，难免事与愿违，有不少缺点和错误，希望读者及时提出批评指正，作者表示衷心的感谢。

作者

# 目 录

<b>第一章 正交曲线坐标的基本方程</b>	.....	( 1 )
§ 1 正交曲线坐标	.....	( 1 )
§ 2 大气运动的基本方程	.....	( 4 )
§ 3 球极坐标的基本方程	.....	( 6 )
§ 4 局地直角坐标的基本方程	.....	( 7 )
§ 5 柱极坐标的基本方程	.....	( 8 )
§ 6 考虑地图投影的基本方程	.....	( 9 )
<b>第二章 大气动力方程组的简化</b>	.....	( 14 )
§ 1 尺度分析	.....	( 14 )
§ 2 水平运动方程的简化	.....	( 16 )
§ 3 地转近似	.....	( 17 )
§ 4 静力平衡近似	.....	( 20 )
§ 5 热力学方程的分析	.....	( 23 )
§ 6 连续方程的分析	.....	( 24 )
§ 7 包辛内斯克近似	.....	( 25 )
§ 8 静力平衡近似的进一步讨论	.....	( 26 )
<b>第三章 垂直坐标和坐标系</b>	.....	( 29 )
§ 1 用气象要素作垂直坐标的数学物理基础	.....	( 29 )
§ 2 坐标变换	.....	( 31 )
§ 3 垂直边界条件	.....	( 37 )
§ 4 垂直坐标的比较和选择	.....	( 39 )
§ 5 混合坐标系	.....	( 40 )
<b>第四章 大气中的多波动运动</b>	.....	( 42 )
§ 1 大气波动的分类	.....	( 42 )
§ 2 波动能量的频散	.....	( 43 )
§ 3 大气中的基本波动	.....	( 43 )
§ 4 大气中的混合波	.....	( 47 )
§ 5 滤波	.....	( 51 )
§ 6 准静力平衡对大气波动的影响	.....	( 53 )
<b>第五章 模式大气和大气模式的设计</b>	.....	( 55 )
§ 1 模式大气和大气模式	.....	( 55 )
§ 2 大气模式的设计	.....	( 55 )
§ 3 对动力热力学方程简化的进一步讨论	.....	( 55 )
§ 4 完全的能量方程和大气中的某些不变量	.....	( 60 )
§ 5 能量守恒和模式设计(一)	.....	( 62 )
§ 6 有效位能和大型静力稳定性	.....	( 67 )
§ 7 能量守恒和模式设计(二)	.....	( 69 )

§ 8 综合结果.....	(73)
<b>第六章 几个简化的大气模式和它们的性质 .....</b>	<b>(75)</b>
§ 1 正压过滤模式.....	(75)
§ 2 斜压过滤模式.....	(81)
§ 3 正压原始方程模式.....	(85)
§ 4 多层原始方程模式.....	(88)
<b>第七章 计算方法(一) .....</b>	<b>(94)</b>
§ 1 预报问题的离散化.....	(94)
§ 2 差分近似.....	(94)
§ 3 一致性、收敛性和计算稳定性.....	(96)
§ 4 分析计算稳定性的方法.....	(98)
§ 5 几种差分格式和它们的性质.....	(100)
§ 6 起步问题.....	(107)
§ 7 二维差分格式的构造.....	(109)
<b>第八章 计算方法(二) .....</b>	<b>(115)</b>
§ 1 常用差分格式的系统性误差.....	(115)
§ 2 非线性计算不稳定.....	(120)
§ 3 正压涡度方程的守恒格式.....	(122)
§ 4 椭圆型方程的数值解.....	(127)
<b>第九章 诊断分析 .....</b>	<b>(138)</b>
§ 1 诊断分析和其内容.....	(138)
§ 2 气块路径.....	(138)
§ 3 影响垂直速度的物理因素.....	(140)
§ 4 几种早期计算垂直速度的方法.....	(142)
§ 5 $\omega$ -方程 .....	(145)
§ 6 直接用测风资料计算大范围散度的方法.....	(148)
§ 7 垂直速度的订正.....	(150)
§ 8 在山区计算垂直速度的问题.....	(152)
§ 9 直接用观测资料进行大范围涡度、通量、梯度和平流的计算.....	(153)
§ 10 波谱分析 .....	(154)
§ 11 复数列 FFT .....	(155)
§ 12 实数列 FFT .....	(157)
<b>第十章 水平侧边界条件 .....</b>	<b>(161)</b>
§ 1 数值天气预报水平侧边界条件的特点.....	(161)
§ 2 常用的水平侧边界条件.....	(162)
§ 3 半球预报的反对称条件和对称反对称条件.....	(168)
§ 4 水平侧边界条件引起的计算稳定性问题.....	(172)
§ 5 有限区域预报的固定边界条件和半固定边界条件.....	(174)
<b>第十一章 预报模式的积分(一) .....</b>	<b>(182)</b>
§ 1 正压过滤模式.....	(182)
§ 2 斜压过滤模式.....	(183)

§ 3	历史的经验教训和使用原始方程的必要性.....	(185)
§ 4	原始方程差分格式的计算稳定性.....	(186)
§ 5	通量形式原始方程差分格式的构造.....	(187)
§ 6	跳点格式和能量的频散.....	(196)
§ 7	一个用跳点格式表示的原始方程模式.....	(200)
§ 8	在跳点格式中极地附近地区的处理.....	(203)
§ 9	一些可以节省计算时间的差分格式.....	(205)
<b>第十二章 预报模式的积分(二) .....</b>		(211)
§ 1	准拉格朗日格式.....	(211)
§ 2	半球范围的积分(地图投影直角坐标).....	(212)
§ 3	半球和全球范围的积分(球面坐标).....	(214)
§ 4	一个时间、空间都差分的能量守恒格式.....	(219)
§ 5	一个保持能量和位拟能守恒的正压原始方程差分模式.....	(223)
§ 6	非线性计算不稳定性的进一步分析.....	(227)
§ 7	在 $\sigma$ -坐标中计算气压梯度力的问题 .....	(230)
<b>第十三章 套网格预报 .....</b>		(237)
§ 1	套网格和套网格预报的必要性.....	(237)
§ 2	活动套网格和多重套网格.....	(237)
§ 3	两种做套网格预报的方法.....	(238)
§ 4	修正的“单向方法”.....	(238)
§ 5	准拉格朗日法.....	(240)
§ 6	不等距差分法.....	(244)
§ 7	异模式套网格.....	(246)
§ 8	套网格模式中存在的问题.....	(248)
<b>第十四章 谱模式 .....</b>		(250)
§ 1	一般的情况.....	(250)
§ 2	谱函数的选择.....	(250)
§ 3	球面调和函数及其性质.....	(252)
§ 4	正压涡度方程.....	(255)
§ 5	正压涡度方程的计算稳定性.....	(257)
§ 6	正压谱模式的积分性质.....	(258)
§ 7	变换法.....	(260)
§ 8	半谱法.....	(262)
§ 9	美国国家气象中心业务用的谱模式.....	(263)
§ 10	半球预报的水平侧边界条件 .....	(270)
§ 11	波谱法和差分法的比较 .....	(271)
<b>第十五章 正规波 .....</b>		(273)
§ 1	一般原理.....	(273)
§ 2	离散化的正压大气.....	(275)
§ 3	离散化的斜压大气.....	(279)
§ 4	哈佛函数.....	(282)

<b>第十六章 初值处理</b>	.....	(289)
§ 1 初值处理的必要性	.....	(289)
§ 2 三类处理	.....	(289)
§ 3 静处理的方法	.....	(289)
§ 4 动处理的方法	.....	(294)
§ 5 变分处理	.....	(299)
§ 6 各种处理方法的比较和存在的问题	.....	(302)
<b>第十七章 对辐射和边界层的考虑</b>	.....	(305)
§ 1 参数化和参数化的必要性	.....	(305)
§ 2 辐射	.....	(305)
§ 3 太阳辐射	.....	(306)
§ 4 长波辐射	.....	(310)
§ 5 行星边界层	.....	(313)
§ 6 边界层厚度的预报	.....	(317)
§ 7 下垫面温度的预报	.....	(321)
<b>第十八章 降水预报</b>	.....	(323)
§ 1 大尺度降水	.....	(323)
§ 2 对流性降水	.....	(328)
§ 3 对流调整	.....	(328)
§ 4 对流参数化方案	.....	(330)
§ 5 郭晓岚方案	.....	(330)
§ 6 修正的郭晓岚方案	.....	(334)
§ 7 荒川-舒伯特方案	.....	(336)
§ 8 几种方案的比较	.....	(348)
<b>第十九章 资料处理和客观分析</b>	.....	(351)
§ 1 资料处理	.....	(351)
§ 2 客观分析	.....	(356)
§ 3 改进的多项式法和逐步订正法	.....	(357)
§ 4 多元最优插值	.....	(361)
§ 5 哈佛函数分析	.....	(364)
§ 6 四维同化	.....	(367)
<b>第二十章 数值天气预报的应用和加工</b>	.....	(371)
§ 1 预报员应用数值天气预报的经验	.....	(371)
§ 2 预报员对数值天气预报的应用	.....	(371)
§ 3 对数值预报图的客观订正	.....	(374)
§ 4 重要天气图	.....	(375)
§ 5 用统计学方法对数值天气预报的加工	.....	(380)
§ 6 用动力学方法对数值天气预报的加工	.....	(385)
<b>附录</b>	.....	(389)
一、数值天气预报中常用的几种地图投影	.....	(389)
二、用地图直角网格坐标计算 f、m	.....	(393)

三、向量运算公式	(394)
四、常系数差分方程的解法	(395)
五、完全的位涡度方程	(396)
六、正压过滤模式的格林函数	(397)
七、斜压准地转模式的格林函数	(398)
八、正压大气中切变涡度和曲率涡度的相互转化	(403)
九、太阳天顶角的计算	(405)
十、辐射传递方程	(406)
十一、晴天大气的长波辐射	(406)
十二、地表层的垂直结构	(408)
十三、检验回归方程、判别函数统计显著性的蒙特·卡洛方法	(410)
十四、平滑运算	(411)
十五、探空报电码	(416)

## 符号一览表

# 第一章 正交曲线坐标的基本方程

## § 1 正交曲线坐标

### 1. 尺 度 因 子

大气运动可以用不同的坐标来描写。除常用的直角坐标外，还可以用一般的曲线坐标。因而，探讨直角坐标和曲线坐标间的关系，并将大气基本方程用后者表示出来是很必要的。

现在，我们就从这两种坐标系的关系出发来研究问题。

设一般曲线坐标为  $q_1, q_2, q_3$ ，而

$$\begin{cases} x = f_1(q_1, q_2, q_3) \\ y = f_2(q_1, q_2, q_3) \\ z = f_3(q_1, q_2, q_3) \end{cases} \quad (1.1)$$

如图 1.1，取向径  $\mathbf{r}$  代表从坐标原点指向点  $P$  的向量， $P$  在直角坐标和一般曲线坐标中的坐标分别是  $(x, y, z)$ 、 $(q_1, q_2, q_3)$ 。如果令  $q_2, q_3$  为常数，而  $q_1$  变化，则  $\mathbf{r}$  画出的曲线为  $q_1$  坐标线。类似地，我们可以定义经过  $P$  点的  $q_2$  和  $q_3$  坐标线。如果这三条坐标线不共面， $\mathbf{e}_1, \mathbf{e}_2, \mathbf{e}_3$  分别是它们增加方向的单位向量，则

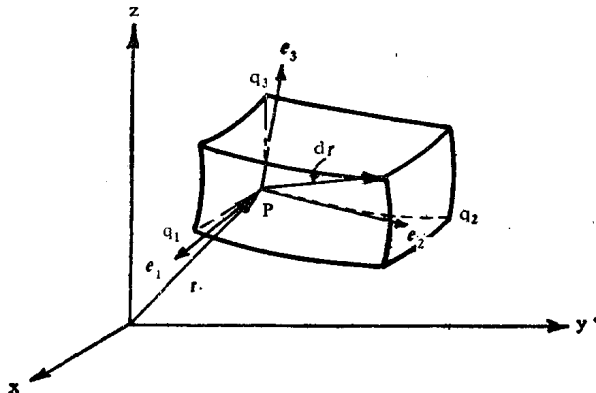


图 1.1

$$d\mathbf{r} = \frac{\partial \mathbf{r}}{\partial q_1} dq_1 + \frac{\partial \mathbf{r}}{\partial q_2} dq_2 + \frac{\partial \mathbf{r}}{\partial q_3} dq_3 \quad (1.2)$$

因为当  $q_2, q_3$  为常数时， $\mathbf{r}$  的矢端总沿  $q_1$  坐标线变化，故  $\partial \mathbf{r} / \partial q_1$  在点  $P$  与  $q_1$  坐标线相切。令

$$\frac{\partial \mathbf{r}}{\partial q_1} = h_1 \mathbf{e}_1$$

则  $h_1$  表示  $\frac{\partial \mathbf{r}}{\partial q_1}$  和  $\mathbf{e}_1$  之间的比值，通常称为尺度因子或拉梅系数。类似地，还有

$$\frac{\partial \mathbf{r}}{\partial q_2} = h_2 \mathbf{e}_2$$

$$\frac{\partial \mathbf{r}}{\partial q_3} = h_3 \mathbf{e}_3$$

其中:  $h_2, h_3$  各是  $\frac{\partial \mathbf{r}}{\partial q_2}$  和  $\mathbf{e}_2$ ,  $\frac{\partial \mathbf{r}}{\partial q_3}$  和  $\mathbf{e}_3$  之间的比值。

## 2. 梯度、散度和涡度

(1.2)式可以写成

$$d\mathbf{r} = h_1 dq_1 \mathbf{e}_1 + h_2 dq_2 \mathbf{e}_2 + h_3 dq_3 \mathbf{e}_3 \quad (1.3)$$

如果在任一点  $P$  处,  $\mathbf{e}_1, \mathbf{e}_2, \mathbf{e}_3$  两两正交, 则称曲线坐标  $q_1, q_2, q_3$  是正交的。这样,  $d\mathbf{r}$  的长度的平方  $ds^2$  是

$$(ds)^2 = d\mathbf{r} \cdot d\mathbf{r} = h_1^2(dq_1)^2 + h_2^2(dq_2)^2 + h_3^2(dq_3)^2 \quad (1.4)$$

它相当于经过  $P$  的无穷小曲面平行六面体对角线长度的平方(图 1.1)。显然, 这时, 平行六面体三个棱边的长各是

$$\begin{cases} ds_1 = h_1 dq_1 \\ ds_2 = h_2 dq_2 \\ ds_3 = h_3 dq_3 \end{cases} \quad (1.5)$$

所以, 对一个标量  $\psi$  来说, 按向量分析中梯度  $\nabla_3 \psi$  的定义, 在  $q_i$  坐标线上的投影是  $\frac{\partial \psi}{\partial s_i}$ , 而

$$\frac{\partial \psi}{\partial s_i} = \frac{1}{h_i} \frac{\partial \psi}{\partial q_i} \quad i=1, 2, 3 \quad (1.6)$$

故

$$\nabla_3 \psi = \frac{1}{h_1} \frac{\partial \psi}{\partial q_1} \mathbf{e}_1 + \frac{1}{h_2} \frac{\partial \psi}{\partial q_2} \mathbf{e}_2 + \frac{1}{h_3} \frac{\partial \psi}{\partial q_3} \mathbf{e}_3 \quad (1.7)$$

其中:

$$\nabla_3 = \frac{\mathbf{e}_1}{h_1} \frac{\partial}{\partial q_1} + \frac{\mathbf{e}_2}{h_2} \frac{\partial}{\partial q_2} + \frac{\mathbf{e}_3}{h_3} \frac{\partial}{\partial q_3} \quad (1.8)$$

现在, 我们来推导向量  $\mathbf{A}$  的散度和涡度。

由于  $\mathbf{e}_i$  是可变向量, 在不同点处, 其方向不同。在推导之前, 我们必须求出  $\nabla_3 \times \mathbf{e}_1$  和  $\nabla_3 \cdot \mathbf{e}_1$  等。

因  $\nabla_3 \times \nabla_3 q_1 = 0$ , 而按(1.8)式,  $\nabla_3 q_1 = \frac{1}{h_1} \mathbf{e}_1$ , 故

$$\nabla_3 \times \frac{1}{h_1} \mathbf{e}_1 = -\mathbf{e}_1 \times \nabla_3 \frac{1}{h_1} + \frac{1}{h_1} \nabla_3 \times \mathbf{e}_1 = 0$$

故

$$\begin{aligned} \frac{1}{h_1} \nabla_3 \times \mathbf{e}_1 &= \mathbf{e}_1 \times \nabla_3 \frac{1}{h_1} \\ &= \mathbf{e}_1 \times (-1) \left( \frac{1}{h_1^3} \frac{\partial h_1}{\partial q_1} \mathbf{e}_1 + \frac{1}{h_1^2 h_2} \frac{\partial h_1}{\partial q_2} \mathbf{e}_2 + \frac{1}{h_1^2 h_3} \frac{\partial h_1}{\partial q_3} \mathbf{e}_3 \right) \\ \text{所以 } \nabla_3 \times \mathbf{e}_1 &= -\frac{\mathbf{e}_2}{h_1 h_3} \frac{\partial h_1}{\partial q_3} - \frac{\mathbf{e}_3}{h_1 h_2} \frac{\partial h_1}{\partial q_2} \end{aligned} \quad (1.9)$$

类似地,我们可以得到

$$\nabla_3 \times \mathbf{e}_2 = -\frac{\mathbf{e}_3}{h_1 h_2} \frac{\partial h_2}{\partial q_1} - \frac{\mathbf{e}_1}{h_2 h_3} \frac{\partial h_2}{\partial q_3} \quad (1.10)$$

$$\nabla_3 \times \mathbf{e}_3 = \frac{\mathbf{e}_1}{h_3 h_2} \frac{\partial h_3}{\partial q_2} - \frac{\mathbf{e}_2}{h_3 h_1} \frac{\partial h_3}{\partial q_1} \quad (1.11)$$

又因

$$\begin{aligned} \nabla_3 \cdot \mathbf{e}_1 &= \nabla_3 \cdot (\mathbf{e}_2 \times \mathbf{e}_3) = \mathbf{e}_3 \cdot (\nabla_3 \times \mathbf{e}_2) - \mathbf{e}_2 \cdot (\nabla_3 \times \mathbf{e}_3) \\ &= \frac{1}{h_1 h_2} \frac{\partial h_2}{\partial q_1} + \frac{1}{h_1 h_3} \frac{\partial h_3}{\partial q_1} = \frac{1}{h_1 h_2 h_3} \frac{\partial (h_2 h_3)}{\partial q_1} \end{aligned} \quad (1.12)$$

类似地,还有

$$\nabla_3 \cdot \mathbf{e}_2 = \frac{1}{h_1 h_2 h_3} \frac{\partial (h_1 h_3)}{\partial q_2} \quad (1.13)$$

$$\nabla_3 \cdot \mathbf{e}_3 = \frac{1}{h_1 h_2 h_3} \frac{\partial (h_1 h_2)}{\partial q_3} \quad (1.14)$$

如

$$\mathbf{A} = a_1 \mathbf{e}_1 + a_2 \mathbf{e}_2 + a_3 \mathbf{e}_3,$$

则

$$\nabla_3 \cdot \mathbf{A} = \sum_{i=1}^3 (a_i \nabla_3 \cdot \mathbf{e}_i + \mathbf{e}_i \cdot \nabla_3 a_i)$$

其中  $a_i$  是矢量  $\mathbf{A}$  在  $\mathbf{e}_i$  方向的投影。把(1.8)式和(1.12)–(1.14)式代入上式, 散度  $\nabla_3 \cdot \mathbf{A}$  在正交曲线坐标中的表达式成为

$$\nabla_3 \cdot \mathbf{A} = \frac{1}{h_1 h_2 h_3} \left\{ \frac{\partial}{\partial q_1} (a_1 h_2 h_3) + \frac{\partial}{\partial q_2} (a_2 h_1 h_3) + \frac{\partial}{\partial q_3} (a_3 h_1 h_2) \right\} \quad (1.15)$$

如  $\mathbf{A} = \nabla_3 \psi$ , 则有

$$\begin{aligned} \nabla_3^2 \psi &= \frac{1}{h_1 h_2 h_3} \left\{ \frac{\partial}{\partial q_1} \left( \frac{h_2 h_3}{h_1} \frac{\partial \psi}{\partial q_1} \right) + \frac{\partial}{\partial q_2} \left( \frac{h_3 h_1}{h_2} \frac{\partial \psi}{\partial q_2} \right) \right. \\ &\quad \left. + \frac{\partial}{\partial q_3} \left( \frac{h_1 h_2}{h_3} \frac{\partial \psi}{\partial q_3} \right) \right\} \end{aligned} \quad (1.16)$$

又因

$$\nabla_3 \times \mathbf{A} = \sum_{i=1}^3 \nabla_3 \times (a_i \mathbf{e}_i) = \sum_{i=1}^3 [-\mathbf{e}_i \times \nabla a_i + a_i (\nabla \times \mathbf{e}_i)]$$

把(1.8)式和(1.9)–(1.11)式代入, 则可以得到  $\nabla_3 \times \mathbf{A}$  在正交曲线坐标中的表达式, 即

$$\nabla_3 \times \mathbf{A} = \frac{1}{h_1 h_2 h_3} \begin{vmatrix} h_1 \mathbf{e}_1 & h_2 \mathbf{e}_2 & h_3 \mathbf{e}_3 \\ \frac{\partial}{\partial q_1} & \frac{\partial}{\partial q_2} & \frac{\partial}{\partial q_3} \\ h_1 a_1 & h_2 a_2 & h_3 a_3 \end{vmatrix} \quad (1.17)$$

于是, 涡度  $\zeta$  可以表示为

$$\zeta = \zeta_1 \mathbf{e}_1 + \zeta_2 \mathbf{e}_2 + \zeta_3 \mathbf{e}_3 = \frac{1}{h_1 h_2 h_3} \begin{vmatrix} h_1 \mathbf{e}_1 & h_2 \mathbf{e}_2 & h_3 \mathbf{e}_3 \\ \frac{\partial}{\partial q_1} & \frac{\partial}{\partial q_2} & \frac{\partial}{\partial q_3} \\ h_1 v_1 & h_2 v_2 & h_3 v_3 \end{vmatrix} \quad (1.18)$$

其中：

$$\mathbf{V}_3 = v_1 \mathbf{e}_1 + v_2 \mathbf{e}_2 + v_3 \mathbf{e}_3; \quad \boldsymbol{\zeta} = \nabla_3 \times \mathbf{V}_3.$$

### 3. 向量的个别变化

根据向量分析公式

$$\frac{d\mathbf{V}_3}{dt} = \frac{\partial \mathbf{V}_3}{\partial t} + \frac{1}{2} \nabla_3 (\mathbf{V}_3 \cdot \mathbf{V}_3) - \mathbf{V}_3 \times \boldsymbol{\zeta} \quad (1.19)$$

而沿  $q_1$  坐标的分量有

$$\begin{aligned} \left( \frac{\partial \mathbf{V}}{\partial t} \right)_1 &= \frac{\partial v_1}{\partial t} \\ \left[ \frac{1}{2} \nabla_3 (\mathbf{V}_3 \cdot \mathbf{V}_3) \right]_1 &= \frac{1}{h_1} \left( v_1 \frac{\partial v_1}{\partial q_1} + v_2 \frac{\partial v_2}{\partial q_1} + v_3 \frac{\partial v_3}{\partial q_1} \right) \\ - (\mathbf{V}_3 \times \boldsymbol{\zeta})_1 &= -v_2 \zeta_3 + v_3 \zeta_2 \\ &= \frac{v_2}{h_1 h_2} \left( \frac{\partial h_1 v_1}{\partial q_2} - \frac{\partial h_2 v_2}{\partial q_1} \right) + \frac{v_3}{h_1 h_3} \left( \frac{\partial h_1 v_1}{\partial q_3} - \frac{\partial h_3 v_3}{\partial q_1} \right) \end{aligned}$$

把上面三式代入方程(1.19)的分量式，于是

$$\begin{aligned} \left( \frac{d\mathbf{V}_3}{dt} \right)_1 &= \frac{\partial v_1}{\partial t} + \frac{1}{h_1} v_1 \frac{\partial v_1}{\partial q_1} + \frac{1}{h_2} v_2 \frac{\partial v_1}{\partial q_2} + \frac{1}{h_3} v_3 \frac{\partial v_1}{\partial q_3} \\ &\quad + \frac{1}{h_1} v_1 \left\{ \frac{v_1}{h_1} \left( \frac{\partial h_1}{\partial q_1} \right) + \frac{v_2}{h_2} \left( \frac{\partial h_1}{\partial q_2} \right) + \frac{v_3}{h_3} \left( \frac{\partial h_1}{\partial q_3} \right) \right\} \\ &\quad - \frac{1}{h_1} \left\{ \frac{v_1^2}{h_1} \left( \frac{\partial h_1}{\partial q_1} \right) + \frac{v_2^2}{h_2} \left( \frac{\partial h_2}{\partial q_1} \right) + \frac{v_3^2}{h_3} \left( \frac{\partial h_3}{\partial q_1} \right) \right\} \end{aligned} \quad (1.20)$$

用同样方法，可以求得方程(1.19)沿  $q_2$  和  $q_3$  坐标线的分量形式。

为了方便起见，我们可以把(1.20)式改写成

$$\begin{aligned} \left( \frac{d\mathbf{V}_3}{dt} \right)_i &= \frac{\partial v_i}{\partial t} + \frac{1}{h_i} v_i \frac{\partial v_i}{\partial q_i} + \frac{v_i}{h_i} \left( \frac{v_j}{h_j} \frac{\partial h_i}{\partial q_j} \right) \\ &\quad - \frac{1}{h_i} \frac{v_i^2}{h_i} \frac{\partial h_i}{\partial q_i} \end{aligned} \quad (1.21)$$

其中： $i, j = 1, 2, 3$ 。凡式中下标  $j$  重复出现的项表示要对  $j$  求和。如

$$\frac{v_j}{h_j} \frac{\partial v_i}{\partial q_j}$$

表示

$$\sum_{j=1}^3 \frac{v_j}{h_j} \frac{\partial v_i}{\partial q_j} \quad (1.22)$$

## § 2 大气运动的基本方程

根据动力气象学，大气运动的基本方程是

$$\frac{d\mathbf{V}_3}{dt} = -\frac{1}{\rho} \nabla_3 P - 2 \boldsymbol{\Omega} \times \mathbf{V}_3 + \mathbf{g} + \mathbf{F}_3 \quad (1.23)$$

$$\frac{d\rho}{dt} + \rho \nabla_3 \cdot \mathbf{V}_3 = 0 \quad (1.24)$$

$$p = \rho R T \quad (1.25)$$

$$c_v \frac{dT}{dt} + p \frac{d\alpha}{dt} = Q \quad (1.26)$$

其中： $\mathbf{V}_3$  是三维风速； $p, \rho, \alpha, T$  各是气压、密度、比容和温度， $\alpha = \frac{1}{\rho}$ ； $\Omega$  是地球自转角速度； $\mathbf{g}$  是重力加速度； $\mathbf{F}_3$  是摩擦力； $c_v$  是定容比热； $Q$  是非绝热加热率。

在上述方程组中，如果摩擦和非绝热加热率是已知函数，或者可以用这方程组中其他物理量来表示，其未知函数只有  $u, v, w, p, \rho, T$ 。其个数和方程数相同，则方程组是闭合的。

利用公式(1.19)，方程(1.23)还可以写为

$$\frac{\partial \mathbf{V}_3}{\partial t} + \nabla_3 \cdot \frac{1}{2} (\mathbf{V}_3 \cdot \mathbf{V}_3) = -\frac{1}{\rho} \nabla_3 p - (2\Omega + \zeta) \times \mathbf{V}_3 + \mathbf{g} + \mathbf{F}_3 \quad (1.23)'$$

这是运动方程的另一种形式。

热力学方程(1.26)还可以写为

$$c_p \frac{dT}{dt} - \alpha \frac{dp}{dt} = Q \quad (1.27)$$

其中： $c_p$  是定压比热。

如考虑水汽发生从气态到液态的相变，则状态方程和热力学方程应分别为

$$p = \rho R T_v \quad (1.28)$$

和

$$c_v \frac{dT}{dt} - \alpha \frac{dp}{dt} = Q - L \frac{dq}{dt} - c_l m \frac{dT}{dt} \quad (1.29)$$

其中： $T_v$  是虚温， $T_v = (1 + 0.608 q)T$ ； $q$  是比湿； $m$  是单位质量空气中的液体水； $L$  是潜热； $c_l$  是液态水的比热。注意，这时， $Q$  中只包含潜热和液体水增温所需热量以外的加热。

在讨论相变的过程时，还需要用到水汽方程，即

$$\frac{d}{dt} \rho_v \alpha = \frac{S}{\rho} \quad (1.30)$$

其中： $\rho_v$  是水汽密度； $S$  是水汽源或汇，表示单位时间单位体积内，增加（或减少）的水汽的质量。

容易看出，上方程表示单位质量空气中水汽量  $\rho_v \alpha$  的变化等于单位质量空气中水汽的源或汇。

现在，我们来推导方程(1.30)

众所周知，空气是由多种气体组成的混合气体。在常温下，它们之间没有化学变化。因此，在固定空间内，空气中某气体质量的变化，可以看成是仅有该气体存在时该气体质量的变化。设水汽的密度是  $\rho_v$ ，根据连续方程

$$\frac{\partial \rho_v}{\partial t} = -\nabla_3 \cdot \rho_v \mathbf{V}_3 + S \quad (1.31)$$

其中： $S$  是水汽的源或汇，如由于蒸发、凝结或湍流扩散造成水汽量的改变等。在另一方面，如果空气的密度为  $\rho$ ，则

$$\frac{\partial \rho}{\partial t} = -\nabla_3 \cdot \rho \mathbf{V}_3 \quad (1.32)$$

按比湿定义,  $q = \rho_v / \rho$ 。用  $q$  乘上式, 减去(1.31)式, 我们可以得到用  $q$  表示的水汽变化方程

$$\frac{dq}{dt} = \frac{d}{dt} \rho_v \alpha = \frac{S}{\rho} \quad (1.33)$$

### § 3 球极坐标的基本方程

令

$$x = r \cos \varphi \cos \lambda \quad (1.34 \text{ a})$$

$$y = r \cos \varphi \sin \lambda \quad (1.34 \text{ b})$$

$$z = r \sin \varphi \quad (1.34 \text{ c})$$

其中:  $r$  是所考虑点到球心的距离,  $\lambda, \varphi$  各是经度和纬度。于是

$$dx = -r \cos \varphi \sin \lambda d\lambda - r \sin \varphi \cos \lambda d\varphi + \cos \varphi \cos \lambda dr$$

$$dy = r \cos \varphi \cos \lambda d\lambda - r \sin \varphi \sin \lambda d\varphi + \cos \varphi \sin \lambda dr$$

$$dz = r \cos \varphi d\varphi + \sin \varphi dr$$

故

$$(ds)^2 = (dr)^2 + r^2(d\varphi)^2 + r^2 \cos^2 \varphi (d\lambda)^2 \quad (1.35)$$

$$h_1 = h_\lambda = r \cos \varphi, h_2 = h_\varphi = r, h_3 = h_r = 1$$

于是

$$\begin{aligned} \nabla_3 \cdot \mathbf{V}_3 &= \frac{1}{r \cos \varphi} \frac{\partial u}{\partial \lambda} + \frac{1}{r \cos \varphi} \frac{\partial}{\partial \varphi} (v \cos \varphi) \\ &\quad + \frac{1}{r^2} \frac{\partial}{\partial r} (r^2 w) \end{aligned} \quad (1.36)$$

$$\nabla_3 \psi = \frac{1}{r \cos \varphi} \frac{\partial \psi}{\partial \lambda} \mathbf{e}_\lambda + \frac{1}{r} \frac{\partial \psi}{\partial \varphi} \mathbf{e}_\varphi + \frac{\partial \psi}{\partial r} \mathbf{e}_r \quad (1.37)$$

$$\xi = \nabla_3 \times \mathbf{V}_3 = \frac{1}{r^2 \cos \varphi} \begin{vmatrix} r \cos \varphi \mathbf{e}_\lambda & r \mathbf{e}_\varphi & \mathbf{e}_r \\ \frac{\partial}{\partial \lambda} & \frac{\partial}{\partial \varphi} & \frac{\partial}{\partial r} \\ r \cos \varphi u & rv & w \end{vmatrix} \quad (1.38)$$

$$\nabla_3^2 \psi = \frac{1}{r^2 \cos^2 \varphi} \left[ \frac{\partial^2 \psi}{\partial \lambda^2} + \cos \varphi \frac{\partial}{\partial \varphi} \left( \cos \varphi \frac{\partial \psi}{\partial \varphi} \right) \right] + \frac{1}{r^2} \frac{\partial}{\partial r} \left( r^2 \frac{\partial \psi}{\partial r} \right) \quad (1.39)$$

其中:  $\mathbf{V}_3 = u \mathbf{e}_\lambda + v \mathbf{e}_\varphi + w \mathbf{e}_r$ ,

$$\begin{cases} u = r \cos \varphi \frac{d\lambda}{dt} \approx a \cos \varphi \frac{d\lambda}{dt} \\ v = r \frac{d\varphi}{dt} \approx a \frac{d\varphi}{dt} \\ w = \frac{dr}{dt} \end{cases} \quad (1.40)$$

其中:  $a$  是地球的平均半径。

现在, 我们来推导球极坐标中的运动方程和连续方程。

因为  $2\Omega = \bar{f}\mathbf{e}_\varphi + f\mathbf{e}_r$ , 有

$$2\Omega \times \mathbf{V}_3 = (-fv + \bar{f}w)\mathbf{e}_\lambda + fu\mathbf{e}_\varphi - \bar{f}u\mathbf{e}_r, \quad (1.41)$$

其中:  $f = 2\Omega \sin\varphi$ ;  $\bar{f} = 2\Omega \cos\varphi$ ;  $\Omega$  是地球自转角速度的值。

把(1.41)式代入运动方程(1.23), 并利用公式(1.20)–(1.22), 再用  $-g\mathbf{e}_r$  代替  $\mathbf{g}$ ,  $a$  代替  $r$ , 则沿纬线、经线和垂直方向的运动方程各可以写作

$$\begin{aligned} \frac{du}{dt} - \frac{uv}{a} \operatorname{tg}\varphi + \frac{uw}{a} - fv + \bar{f}w \\ = -\frac{1}{\rho} \frac{1}{a \cos\varphi} \frac{\partial p}{\partial \lambda} + F_\lambda \end{aligned} \quad (1.42)$$

$$\frac{dv}{dt} + \frac{u^2}{a} \operatorname{tg}\varphi + \frac{vw}{a} + fu = -\frac{1}{\rho a} \frac{\partial p}{\partial \varphi} + F_\varphi \quad (1.43)$$

$$\frac{dw}{dt} - \frac{u^2 + v^2}{a} - \bar{f}u = -\frac{1}{\rho} \frac{\partial p}{\partial r} - g + F_r, \quad (1.44)$$

其中:

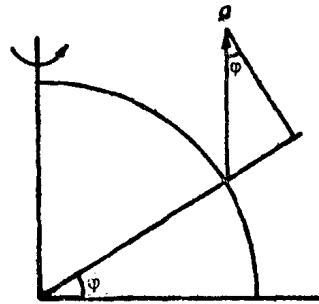


图 1.2

利用公式(1.36), 连续方程成为

$$\begin{aligned} \frac{d\rho}{dt} + \rho \left\{ \frac{1}{a \cos\varphi} \frac{\partial u}{\partial \lambda} + \frac{1}{a \cos\varphi} \frac{\partial}{\partial \varphi} (v \cos\varphi) \right. \\ \left. + \frac{1}{a^2} \frac{\partial}{\partial r} (r^2 w) \right\} = 0 \end{aligned}$$

或

$$\begin{aligned} \frac{d\rho}{dt} + \rho \left( \frac{1}{a \cos\varphi} \frac{\partial u}{\partial \lambda} + \frac{1}{a} \frac{\partial v}{\partial \varphi} - \frac{v \operatorname{tg}\varphi}{a} \right. \\ \left. + \frac{\partial w}{\partial r} - \frac{2w}{a} \right) = 0 \end{aligned} \quad (1.46)$$

#### § 4 局地直角坐标的基本方程

所谓局地直角坐标系, 是指原点取在地球某点, 以  $x$ -轴指向东,  $y$ -轴指向北,  $z$ -轴指向天顶的直角坐标系。这种坐标系对研究短期、范围比整个球面小得多的天气演变, 可以起到简化动力方程的作用。这时, 在方程(1.42)–(1.44)中, 可以略去和地球曲率  $\frac{1}{a}$  有关的项  $u^2 \operatorname{tg}\varphi / a$  等。如再略去与  $\bar{f}$  有关的小项, 并令

$$dx = a \cos\varphi d\lambda$$

$$dy = ad\varphi$$

$$dz = dr$$

则运动方程组成为

$$\frac{du}{dt} - fv = -\frac{1}{\rho} \frac{\partial p}{\partial x} + F_x \quad (1.47)$$

$$\frac{dv}{dt} + fu = -\frac{1}{\rho} \frac{\partial p}{\partial y} + F_y, \quad (1.48)$$

$$\frac{dw}{dt} = -\frac{1}{\rho} \frac{\partial p}{\partial z} - g + F_z \quad (1.49)$$

而连续方程成为

$$\frac{d\rho}{dt} + \rho \left( \frac{\partial u}{\partial x} + \frac{\partial v}{\partial y} + \frac{\partial w}{\partial z} \right) = 0 \quad (1.50)$$

其中：

$$\frac{d}{dt} = \frac{\partial}{\partial t} + u \frac{\partial}{\partial x} + v \frac{\partial}{\partial y} + w \frac{\partial}{\partial z} \quad (1.51)$$

$$z = r - a$$

如令  $\mathbf{V}_3 = u\mathbf{i} + v\mathbf{j} + w\mathbf{k}$ ,  $2\Omega = f\mathbf{k}$ , 容易看出, 方程(1.47)–(1.49)和连续方程(1.50)各可以表示为和方程(1.23), (1.24)相似的形式, 即

$$\frac{d\mathbf{V}_3}{dt} = -\frac{1}{\rho} \nabla_3 p - f\mathbf{k} \times \mathbf{V}_3 - g\mathbf{k} + \mathbf{F}_3 \quad (1.52)$$

$$\frac{d\rho}{dt} + \rho \nabla_3 \cdot \mathbf{V}_3 = 0 \quad (1.53)$$

$$\text{但这时需令 } \nabla_3 \cdot = \frac{\partial}{\partial x} + \frac{\partial}{\partial y} + \frac{\partial}{\partial z}, \quad \nabla_3 = \frac{\partial}{\partial x}\mathbf{i} + \frac{\partial}{\partial y}\mathbf{j} + \frac{\partial}{\partial z}\mathbf{k}$$

## § 5 柱极坐标的基本方程

令  $x = r\cos\varphi$ ,  $y = r\sin\varphi$ ,  $z = z$ , 则

$$\begin{cases} dx = -r\sin\varphi d\varphi + \cos\varphi dr \\ dy = r\cos\varphi d\varphi + \sin\varphi dr \\ dz = dz \end{cases}$$

于是

$$(ds)^2 = (dx)^2 + (dy)^2 + (dz)^2 = (dr)^2 + r^2(d\varphi)^2 + (dz)^2$$

$$\text{故 } h_r = 1, \quad h_\varphi = r, \quad h_z = 1 \quad (1.54)$$

利用(1.8)和(1.15)–(1.17)式, 我们可以得到

$$\nabla_3 \psi = \frac{\partial \psi}{\partial r} \mathbf{e}_r + \frac{1}{r} \frac{\partial \psi}{\partial \varphi} \mathbf{e}_\varphi + \frac{\partial \psi}{\partial z} \mathbf{e}_z \quad (1.55)$$

$$\nabla_3^2 \psi = \left( \frac{\partial^2}{\partial r^2} + \frac{1}{r} \frac{\partial}{\partial r} + \frac{1}{r^2} \frac{\partial^2}{\partial \varphi^2} + \frac{\partial^2}{\partial z^2} \right) \psi \quad (1.56)$$

$$\nabla_3 \cdot \mathbf{V}_3 = \frac{1}{r} \frac{\partial}{\partial r} (rv_r) + \frac{1}{r} \frac{\partial v_\varphi}{\partial \varphi} + \frac{\partial v_z}{\partial z}$$

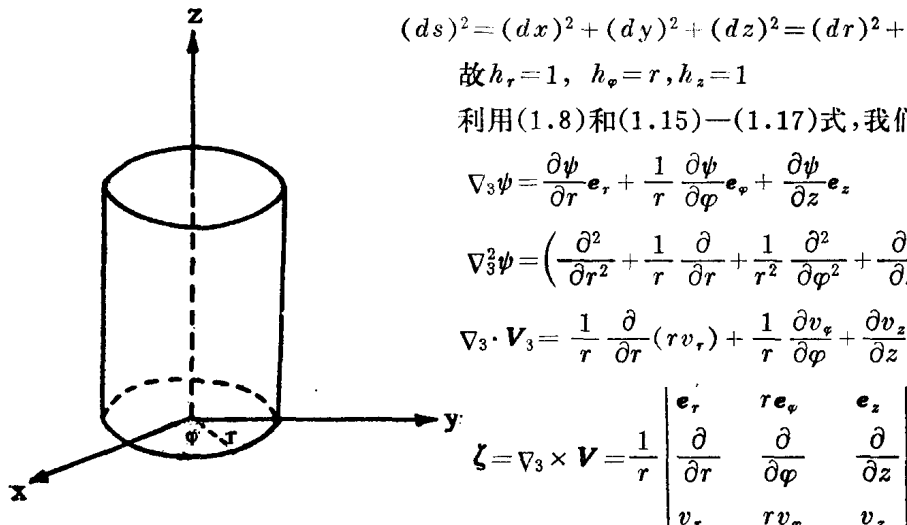


图 1.3 柱极坐标

现在, 我们来推导运动方程。

从方程(1.52)和(1.53)出发, 令  $\mathbf{e}_z = \mathbf{k}$ , 利用公式(1.21), 我们可以求得柱极坐标中的运动方程和连续方程

$$\zeta = \nabla_3 \times \mathbf{V} = \frac{1}{r} \begin{vmatrix} \mathbf{e}_r & r\mathbf{e}_\varphi & \mathbf{e}_z \\ \frac{\partial}{\partial r} & \frac{\partial}{\partial \varphi} & \frac{\partial}{\partial z} \\ v_r & rv_\varphi & v_z \end{vmatrix} \quad (1.57)$$